

Riadenie nelineárnych systémov

Úvod do problematiky nelineárnych systémov

doc.Ing. Ján Kardoš, PhD.
ÚRK, D-410

Nelineárne systémy

- **Prednášajúci, cvičiaci:**
doc. Ing. Ján Kardoš, PhD. – 1. polovica semestra
Ing. Martin Ernek, PhD. – 2. polovica semestra
- **Hodnotenie:** **20+20** bodov počas semestra (cvičenia),
30+30 bodov písomná skúška (t.j. 2 časti)
- **Podmienka absolvovania písomnej skúšky:**
dosiahnuť v každej časti písomnej skúšky minimálne 15 bodov
- **Okruhy tém:**
 1. Úvod do problematiky, základné typy nelinearít, metóda stavového priestoru
 2. Metóda ekvivalentných prenosov (metóda harmonickej rovnováhy)
 3. Všeobecná teória stability nelineárnych systémov (Ljapunov), stabilita v malom, globálna stabilita
 4. Spätnoväzbová linearizácia

Doplnková literatúra k prednáškam

- H. K. Khalil: Nonlinear Systems, Prentice Hall, 1996, 2002.
- A. Isidori: Nonlinear Control Systems, Springer-Verlag, 1995.
- S. Sastry: Nonlinear Systems, Springer-Verlag, 1999.
- J. Balátě: Automatické řízení, BEN, 2004.
- S. Kubík a kol.: Teorie automatického řízení I - Lineární a nelineární systémy, SNTL, 1982

3

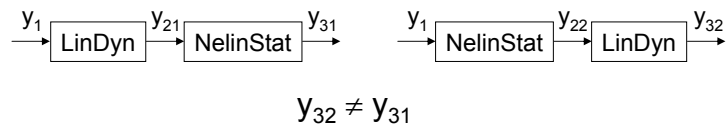
Základné pojmy a kategórie nelinearít

- Reálne dynamické systémy sú vo všeobecnosti nelineárne
- Stačí, že sa v regulačnom obvode vyskytuje jedna nelinearita, a regulačný obvod je nelineárny
- **Statické nonlinearity** – nelineárne prevodové charakteristiky (jednoznačné nonlinearity – bez pamäte, nejednoznačné nonlinearity – **hysteréza** – s pamäťou)
- **Dynamické nonlinearity** – nelineárne diferenciálne rovnice (konzervatívne – bez tlmenia, t.j. s konštantnou celkovou energiou)
(nekonzervatívne – s tlmením, t.j. s rozptylom energie – napr. úbytok energie trením)
- **Parazitné nonlinearity** (vôľa v zuboch, necitlivosť, ...)
- **Zámerné nonlinearity** (reléové riadenie, t-optim. riadenie)₄

Základné pojmy a vlastnosti nelinearít

- **Neplatí princíp superpozície** $f(u_1) + f(u_2) \neq f(u_1 + u_2)$
(nemožno použiť Laplaceovu transformáciu)

- **Neplatí princíp komutativity**



- Prechodová charakteristika závisí od **začiatkových podmienok** a od **veľkosti** skoku vstupnej veličiny

5

Základné pojmy a stabilita

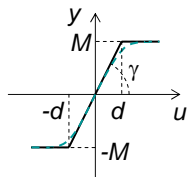
- **Stabilita** systému závisí nielen na jeho parametroch a štruktúre ale aj na **začiatkových podmienkach** a na priebehu vstupného (budiaceho) signálu.
- **Ustálené stavy:** **rovnovážne a periodické**
- **Rovnovážne stavy:** (singulárne body)
 - **nulové** derivácie signálov
 - jeden alebo viac bodov
 - stabilné a/alebo nestabilné (overenie stability)
- **Periodické stavy:** (medzné/limitné cykly)
 - **nenulové** derivácie signálov
 - trvalé oscilácie (autooscilácie)
 - jeden alebo viac cyklov
 - stabilné a/alebo nestabilné
- Typy oscilácií: vynútené, samobudené; subharmonické, ultraharmonické, kváziperiodické, **rezonančné** (vlastné kmity systému), relaxačné, parametrické

6

Niektoré typy **statických nelinearít** (symetrické prevodové charakteristiky)

- Charakteristika **nasýtenia** (saturation)

Vo všeobecnosti môžu byť tieto typy nelinearít aj **nesymetrické**.



$$y = Ku \quad \text{pre } |u| \leq d$$

$$y = M \operatorname{sgn}(u) \quad \text{pre } |u| > d$$

pásma
lineárnosti

$$K = \tan(\gamma) = \frac{M}{d}$$

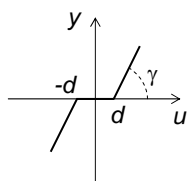
zosilnenie

obmedzenie výstupu – zosilňovače, prevodníky,
mechanické systémy

7

Niektoré typy **statických nelinearít** (symetrické prevodové charakteristiky)

- **Pásma necitlivosti** (dead-zone, threshold)



$$y = 0 \quad \text{pre } |u| \leq d$$

$$y = Ku - Kd \operatorname{sgn}(u) \quad \text{pre } |u| > d$$

$$K = \tan(\gamma)$$

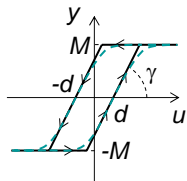
necitlivosť pri rozbehu – mechanické systémy
(hydraulické, pneumatické, elektromechanické - napr.
vplyv suchého trenia v momentovej spätnej väzbe
servopohonov)

zámerné použitie – **potlačenie oscilácií**

8

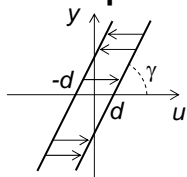
Niektoré typy **statických nelinearít** (symetrické prevodové charakteristiky)

- **Hysteréza** (hysteresis)



hysteréza **s nasýtením**
napr. magnetizačná krivka
feromagnetických materiálov

- **Vôľa v prevodoch** (backlash)

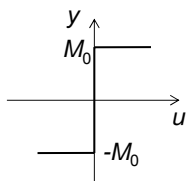


hysteréza **bez nasýtenia**
mechanické systémy (mŕtvy chod
prevodoviek, pákové prevody)

Nejednoznačné charakteristiky (nonlinearity s pamäťou) ₉

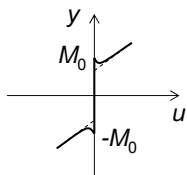
Niektoré typy **statických nelinearít** (symetrické prevodové charakteristiky)

- **Suché trenie** (Coulomb friction)



mechanické systémy
 $y = M_0 \operatorname{sgn}(u)$

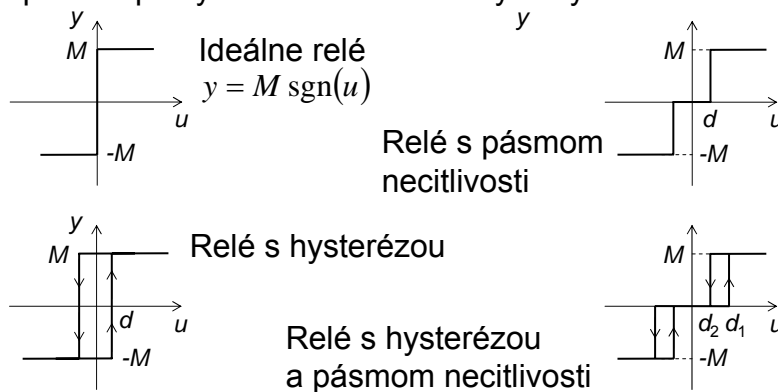
- **Suché a viskózne trenie** (Coulomb & viscous friction)



mechanické systémy

Niektoré typy **statických nelinearít** (symetrické prevodové charakteristiky)

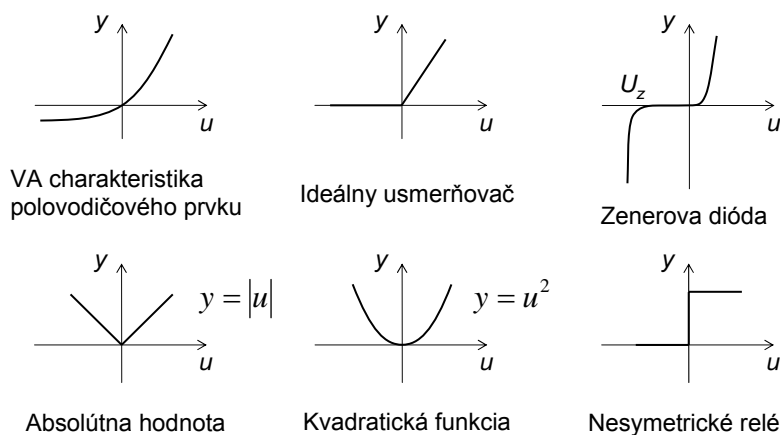
- **Reléové** (relay) charakteristiky (**nespojité!**) – elektronické spínacie prvky v elektromechanických systémoch



11

Niektoré typy **statických nelinearít** (nesymetrické prevodové charakteristiky)

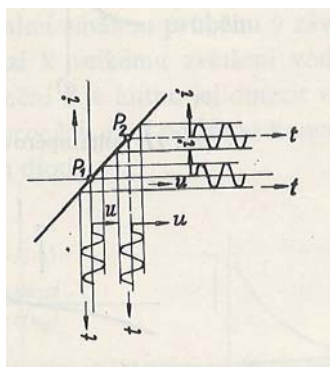
- Nesymetrické nelinearity



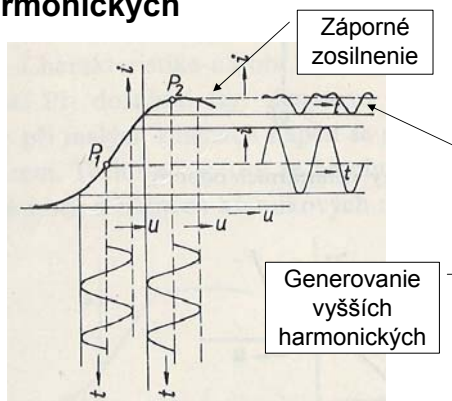
12

Nelineárne prevodové charakteristiky

- Rôzne **zosilnenie** v rôznych pracovných bodoch $\left. \frac{df(u)}{du} \right|_{P_i}$
- Generovanie **vyšších harmonických**



Lineárna prevodová charakteristika

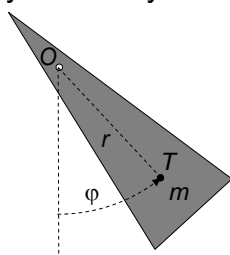


Nelineárna prevodová charakteristika

13

Nelineárne dynamické systémy

- Fyzikálne kyvadlo $a_2 \frac{d^2\varphi(t)}{dt^2} + a_1 \frac{d\varphi(t)}{dt} + a_0 \sin(\varphi(t)) = 0$ nebudené



$$\begin{aligned} a_2 &= mr^2 && \text{moment zotrvačnosti} \\ a_1 &= B && \text{koef. viskózneho trenia} \\ a_0 &= mgr && \text{amplitúda momentu gravitačných síl} \end{aligned}$$

Rovnovážny stav

$$\frac{d^i \varphi}{dt^i} = 0 \quad i = 1, 2 \quad \Rightarrow \quad \begin{aligned} a_0 \sin(\varphi(t)) &= 0 \\ \sin(\varphi(t)) &= 0 \end{aligned}$$

stabilný

$$\varphi = 0$$

nestabilný

$$\varphi = \pi$$

14

Nelineárne dynamické systémy

- Fyzikálne kyvadlo $a_2 \frac{d^2 \varphi(t)}{dt^2} + a_1 \frac{d\varphi(t)}{dt} + a_0 \sin(\varphi(t)) = \tau$ budené

v závese nech pôsobí na kyvadlo hnací moment τ !

Ustálený stav $\frac{d^i \varphi}{dt^i} = 0 \quad i = 1, 2 \implies a_0 \sin(\varphi(t)) = \tau$

$$\sin(\varphi(t)) = \frac{\tau}{a_0}$$

Prevodová charakteristika $\varphi = f(\tau)$

$$\varphi = \arcsin\left(\frac{\tau}{a_0}\right)$$

15

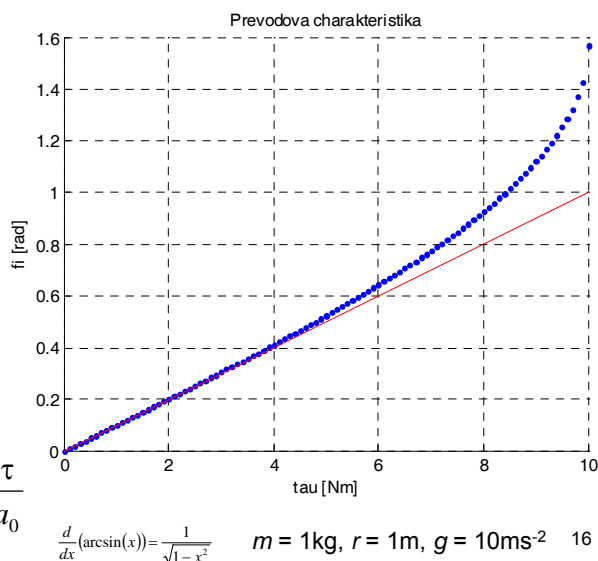
Nelineárne dynamické systémy

- Prevodová charakteristika fyzikálneho kyvadla

$$\varphi = \arcsin\left(\frac{\tau}{a_0}\right)$$

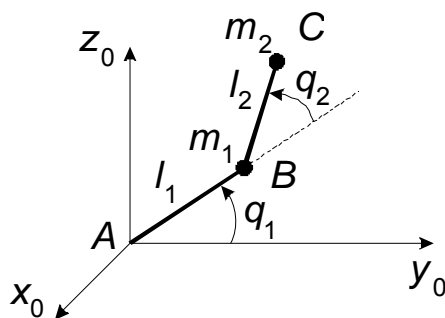
- Linearizovaná** prevodová charakteristika v bode (0,0)

$$\varphi_{lin} = \left. \frac{d\varphi}{d\tau} \right|_{\tau=0} \cdot \tau = \frac{\tau}{a_0}$$



Nelineárne dynamické systémy

- Dynamický model robota



17

Nelineárne dynamické systémy

- Lagrangeove rovnice druhého druhu $\frac{d}{dt} \left(\frac{\partial L}{\partial \dot{q}_i} \right) - \frac{\partial L}{\partial q_i} = Q_i$
 i – číslo kĺbu (stupňa voľnosti, DOF)
- Lagrangeova funkcia $L = E_k - E_p$
- **Celková** kinetická energia robota E_k
- **Celková** potenciálna energia robota E_p
- Zovšeobecnené súradnice q_i
- Zovšeobecnené sily $Q_i = \tau_i - B_i \dot{q}_i$
 - Hnacie momenty/sily τ_i
 - Trecie sily $B_i \dot{q}_i$

18

Nelineárne dynamické systémy

- Nelineárne diferenciálne rovnice 1. a 2. kľbu robota

$$j_{11}(\mathbf{q})\ddot{q}_1 + j_{12}(\mathbf{q})\ddot{q}_2 + B_1\dot{q}_1 + c_1(\mathbf{q}, \dot{\mathbf{q}}) + g_1(\mathbf{q}) = \tau_1$$

$$j_{21}(\mathbf{q})\ddot{q}_1 + j_{22}(\mathbf{q})\ddot{q}_2 + B_2\dot{q}_2 + c_2(\mathbf{q}, \dot{\mathbf{q}}) + g_2(\mathbf{q}) = \tau_2$$

$$j_{11}(\mathbf{q}), j_{12}(\mathbf{q}), j_{21}(\mathbf{q}) = f(\cos(q_2))$$

$$c_1(\mathbf{q}, \dot{\mathbf{q}}), c_2(\mathbf{q}, \dot{\mathbf{q}}) = f(\sin(q_2), \dot{q}_1^2, \dot{q}_1\dot{q}_2, \dot{q}_2^2)$$

$$g_1(\mathbf{q}), g_2(\mathbf{q}) = f(\cos(q_1 + q_2))$$

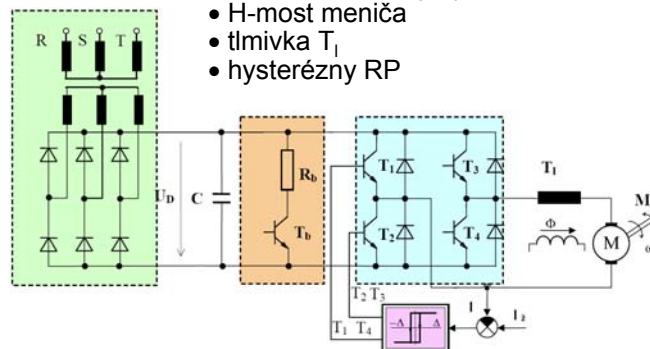
19

Reléové riadenie prúdu kotvy JM (ukážka použitia **zámernej nelinearity**)

- Regulačný obvod prúdu s **hysteréznym** regulátorom prúdu kotvy v sústave reverzačný **tranzistorový menič** – jednosmerný motor

Princiálna schéma:

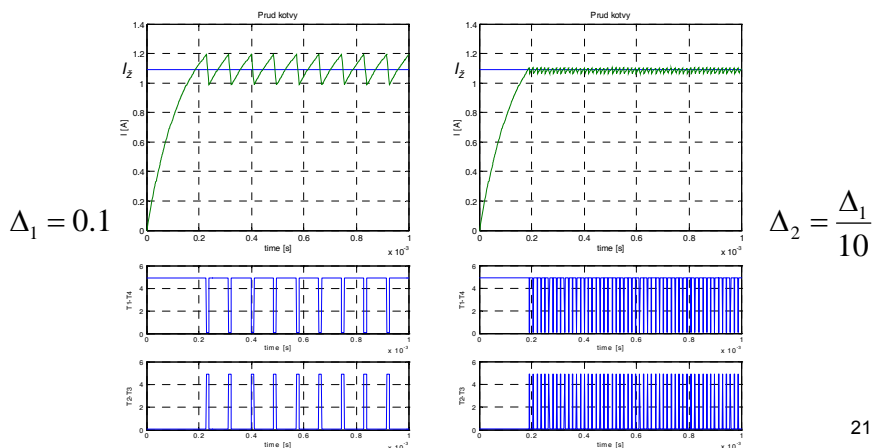
- šesťimpulzný neriadený usmerňovač
- vyhladzovací napäťový kondenzátor C
- marič energie R_b - T_b
- H-most meniča
- tlmička T_l
- hysteréznym RP



20

Reléové riadenie prúdu kotvy JM (ukážka použitia **zámernej nelinearity**)

- **Kvalitu** riadenia určuje **šírka** Δ hysteréznej charakteristiky, ktorou sa nastavuje maximálny rozkmit prúdu ΔI_{\max} a frekvencia kmitov prúdu.



21

Základné pojmy pri riešení NS

- Analýza nelineárnych systémov – **metóda stavového/ fázového priestoru** (pre systémy 2. rádu metóda stavovej/fázovej roviny), **metóda harmonickej rovnováhy**
- Analýza stability nelineárnych systémov so spojitými nelinearitami – **všeobecná teória stability** (1. metóda Ljapunova – stabilita v malom, 2. metóda Ljapunova – globálna stabilita)
- Syntéza nelineárnych regulačných obvodov – metóda stavovej/fázovej roviny, všeobecná teória stability, spätnoväzbová linearizácia, metóda harmonickej rovnováhy (metóda ekvivalentných prenosov)

22

Analýza nelineárnych systémov

- **Metóda stavovej/fázovej roviny – pre systémy 2. rádu** (metóda stavového/fázového priestoru – pre systémy vyšších rádoov – náročné na predstavivosť)
- **Metóda ekvivalentných prenosov – systémy vyšších rádoov (dobré filtračné vlastnosti) s typickými nelinearitami**
- **Vnútorňý model systému** – stavový resp. fázový model
- **Stavový vektor** (x_1, x_2) , **fázový vektor** (y, \dot{y}) , resp. (e, \dot{e})
- **Stavová/fázová trajektória** - trajektória, ktorú opisuje koncový bod stavového/fázového vektora (tzv. **zastupujúci bod**) v stavovej/fázovej rovine v čase (analytické riešenie, grafické riešenie, simulácie).
- **Stavový/fázový portrét** - sieť stavových/fázových trajektórií, ktoré vychádzajú z rôznych začiatočných podmienok.

23

Získanie stavového modelu systému

- Prenosová funkcia $G(s) = \frac{b_0 + b_1s + b_2s^2 + \dots + b_ms^m}{a_0 + a_1s + a_2s^2 + \dots + a_ns^n} = \frac{Y(s)}{U(s)} \quad m < n$

- Stavový model $\dot{\mathbf{x}}(t) = \mathbf{A}\mathbf{x}(t) + \mathbf{b}u(t)$ **vstupný signál**
 $y(t) = \mathbf{c}^T \mathbf{x}(t) + du(t)$ **výstupný signál**

normálna forma riaditeľnosti

matica systému $\mathbf{A} = \begin{pmatrix} 0 & 1 & \dots & 0 & 0 \\ 0 & 0 & \dots & 0 & 0 \\ \vdots & \vdots & & \vdots & \vdots \\ 0 & 0 & \dots & 0 & 1 \\ -a_0 & -a_1 & \dots & -a_{n-2} & -a_{n-1} \end{pmatrix} = R^{n \times n}$

$\mathbf{c}^T = (b_0 \ b_1 \ \dots \ b_m \ 0 \ \dots \ 0) = R^{1 \times n}$ **výstupný vektor systému**

$\mathbf{b} = \begin{pmatrix} 0 \\ 0 \\ \vdots \\ 0 \\ 1 \end{pmatrix} = R^{n \times 1}$ **vstupný vektor systému**

$d = 0 = R^{1 \times 1}$

**OPAKOVANIE
pre lineárny systém**

24

Získanie stavového modelu systému

- Stavový model **nelineárneho systému**

výstupný signál

$$\dot{\mathbf{x}}(t) = \mathbf{X}(\mathbf{x}(t) + u(t))$$

$$y(t) = Y(\mathbf{x}(t) + u(t))$$

vstupný signál

stavový vektor

- Nelin. dif. rovnica $Y[y(t), \dot{y}(t), \dots, y^{(n)}(t)] = U[u(t), \dot{u}(t), \dots, u^{(m)}(t)] \quad m < n$

Fyzikálny opis
nelin. systému

$\mathbf{X}(\cdot), Y(\cdot), U(\cdot)$ – nelineárne funkcie

- Stavový vektor (fázový vektor) $\mathbf{x}(t) = (x_1(t), x_2(t), \dots, x_n(t))^T$

$$\begin{aligned} x_1(t) &= y(t) \\ x_2(t) &= \dot{y}(t) = \dot{x}_1(t) \\ &\vdots \\ x_n(t) &= y^{(n-1)}(t) = \dot{x}_{n-1}(t) \end{aligned}$$

Stavový
model

$$\begin{aligned} \dot{x}_1(t) &= X_1[x_1(t), x_2(t), \dots, x_n(t), u(t)] \\ \dot{x}_2(t) &= X_2[x_1(t), x_2(t), \dots, x_n(t), u(t)] \\ &\vdots \\ \dot{x}_n(t) &= X_n[x_1(t), x_2(t), \dots, x_n(t), u(t)] \\ y(t) &= x_1(t) \end{aligned}$$

25

Analýza nelineárnych systémov

Nelineárny autonómny systém 2. rádu

- Nelineárna diferenciálna rovnica $\ddot{y}(t) + g[\dot{y}(t)] + f[y(t)] = 0$

$g(\cdot), f(\cdot)$ – nelineárne funkcie

- Stavový vektor (fázový vektor) $\mathbf{x}(t) = \begin{pmatrix} x_1(t) \\ x_2(t) \end{pmatrix} \in R^{2 \times 1}$

$$\begin{aligned} x_1(t) &= y(t) \\ x_2(t) &= \dot{y}(t) = \dot{x}_1(t) \end{aligned}$$

Stavový
model

$$\begin{aligned} \frac{dx_1(t)}{dt} &= x_2(t) \\ \frac{dx_2(t)}{dt} &= -g[x_2(t)] - f[x_1(t)] \end{aligned}$$

Výstupná rovnica $y(t) = x_1(t)$

26

Ustálené stavy nelineárnych systémov

- **Rovnovážne stavy** $\frac{dx_i}{dt} = 0 \quad i = 1, 2 \Rightarrow (x_1, x_2)_j$
(j – počet riešení)
- **Autooscilácie (medzné cykly)** – Bendixsonovo kritérium existencie limitných cyklov – postačujúca podmienka (len pre stabilné systémy 2. rádu)

Nelin. systém $\begin{aligned} \frac{dx_1}{dt} &= X_1(x_1, x_2) \\ \frac{dx_2}{dt} &= X_2(x_1, x_2) \end{aligned} \Rightarrow \frac{dx_2}{dx_1} = \frac{X_2(x_1, x_2)}{X_1(x_1, x_2)} \Rightarrow X_2 dx_1 - X_1 dx_2 = 0$

Trajektória systému

medzný cyklus existuje ak $\oint (X_2 dx_1 - X_1 dx_2) = 0$

$\oint (X_2 dx_1 - X_1 dx_2) = \iint_R \left(\frac{\partial X_1}{\partial x_1} + \frac{\partial X_2}{\partial x_2} \right) dx_1 dx_2 = 0 \Rightarrow$ integrand $\frac{\partial X_1}{\partial x_1} + \frac{\partial X_2}{\partial x_2}$

Stokesova veta

mení znamienko alebo je nulový 27

Analýza nelineárnych systémov

- (pokračovanie)
- Stavový model $\frac{dx_1}{dt} = x_2$
 $\frac{dx_2}{dt} = -g[x_2] - f[x_1]$
 - **Izoklína** – geometrické miesto (GM) rovnakých smerníc stavových trajektórií vychádzajúcich z rôznych počiatočných podmienok.
 - Rovnica (všetkých) izoklín $\frac{dx_2}{dx_1} = -\frac{g[x_2] + f[x_1]}{x_2}$
 - Riešenie rovnice izoklín – **stavová trajektória systému**
 - Izoklína pre smernicu k_i – GM konštantných smerníc k_i

$\frac{dx_2}{dx_1} = -\frac{g[x_2] + f[x_1]}{x_2} = k_i \Rightarrow x_2 = f_i(x_1, k_i)$

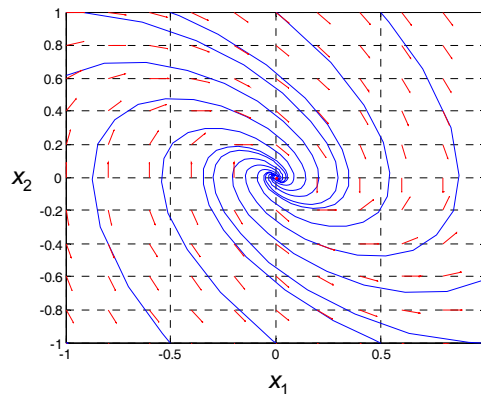
- Mapovanie fázového portrétu smernicami trajektórií v bodoch (x_1, x_2) (**Matlab**)

$\varphi = \text{atan2}(\mathbf{dx}_2/\mathbf{dx}_1);$
 $x1v = r.\cos(\varphi);$
 $x2v = r.\sin(\varphi);$
quiver(x1,x2,x1v,x2v);

Rovnica izoklín

28

Smernice trajektórií vo fázovom portréte – ukážka



29

Analýza nelineárnych systémov

- Charakteristické črty stavového/fázového portrétu

Nelineárny (autonómny) systém

$$\ddot{x} + 0,6\dot{x} + 3x + x^2 = 0$$

Rovnovážne stavy ($\ddot{x} = \dot{x} = 0$)

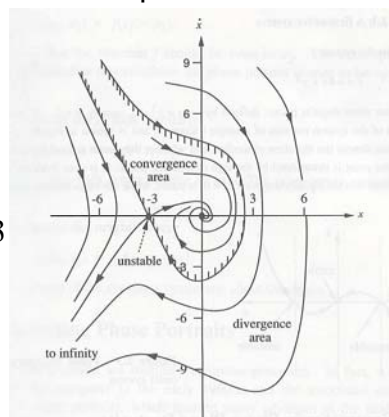
$$3x + x^2 = 0$$

riešenie: $x = 0, \quad x = -3$

Body vo fázovej rovine (x, \dot{x})

$$(x, \dot{x}) = (0, 0)$$

$$(x, \dot{x}) = (-3, 0)$$



30

Typy rovnovážnych stavov (príklad fázového portréту)

- Lineárny (linearizovaný) dynamický systém (autonómny)

$$\ddot{y}(t) - b\dot{y}(t) - ay(t) = 0 \quad \mathbf{x} = \begin{pmatrix} x_1 \\ x_2 \end{pmatrix} = \begin{pmatrix} y \\ \dot{y} \end{pmatrix}$$

$$\begin{aligned} \frac{dx_1}{dt} &= x_2 \\ \frac{dx_2}{dt} &= ax_1 + bx_2 \end{aligned}$$

- Rovnovážny stav

$$\frac{dx_1}{dt} = x_2 = 0$$

$$\frac{dx_2}{dt} = ax_1 + bx_2 = 0$$

$$(x_1, x_2) = (0, 0)$$

- Charakteristická rovnica

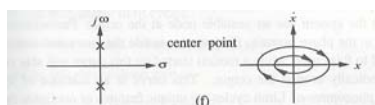
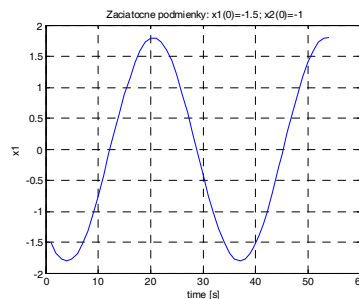
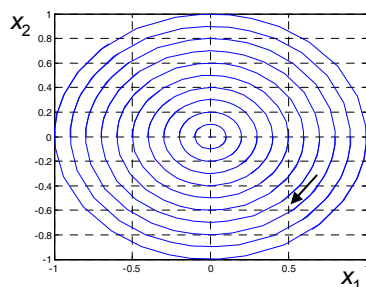
$$s^2 - bs - a = 0$$

$$s_{1,2} = \frac{b}{2} \pm \sqrt{\frac{b^2}{4} + a}$$

31

Typy rovnovážnych stavov

- $a = -1$, $b = 0$, rovnovážny stav $(0,0)$ je tzv. **stred**
- Korene charakteristickej rovnice: $s_{1,2} = \pm i$

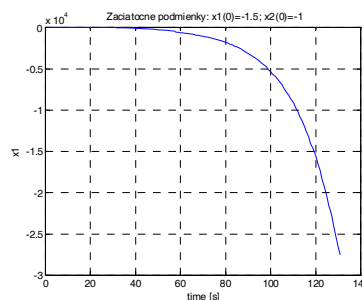
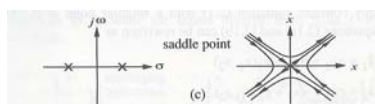
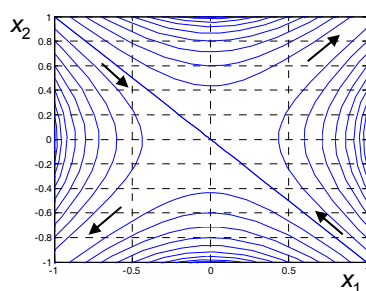


netlmený kmitavý priebeh
(autooscilácie s konštantnou amplitúdou)

32

Typy rovnovážnych stavov

- $a = 1, b = 0$, rovnovážny stav $(0,0)$ je tzv. **sedlo**
- Korene charakteristickej rovnice: $s_1 = -1; s_2 = 1$

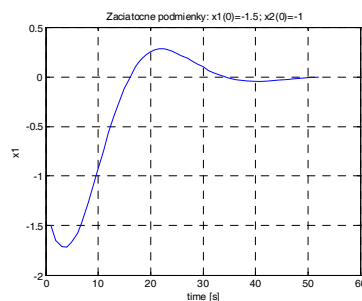
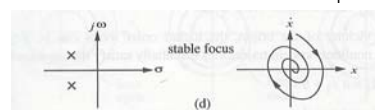
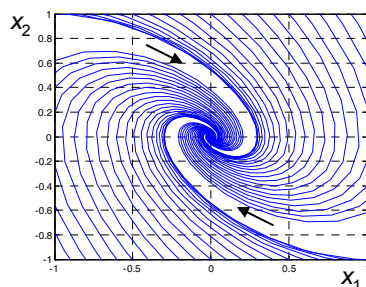


aperiodický netlmený priebeh
(nestabilný)

33

Typy rovnovážnych stavov

- $a = -1, b = -1$, **stabilné ohnisko**
- Korene charakteristickej rovnice: $s_{1,2} = -0.5 \pm 0.866i$

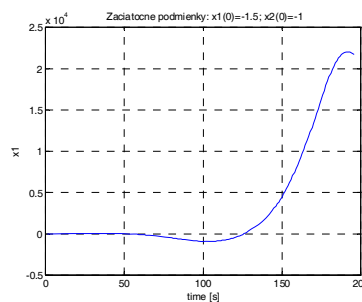
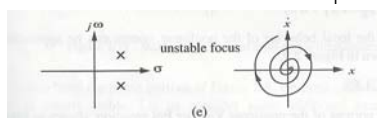
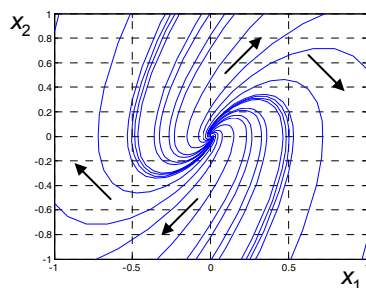


tlmený kmitavý priebeh
(stabilný)

34

Typy rovnovážnych stavov

- $a = -2, b = 2$, **nestabilné ohnisko**
- Korene charakteristickej rovnice: $s_{1,2} = 1 \pm i$

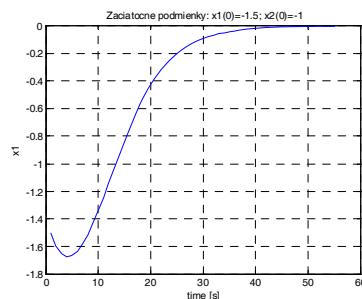
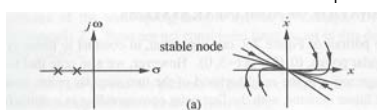
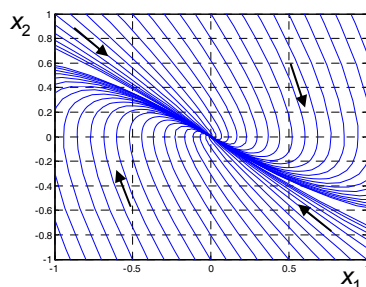


netlmený kmitavý priebeh
(nestabilný)

35

Typy rovnovážnych stavov

- $a = -1, b = -2$, **stabilný uzol**
- Korene charakteristickej rovnice: $s_{1,2} = -1$

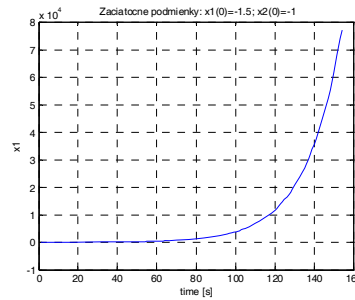
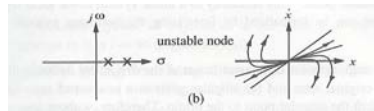
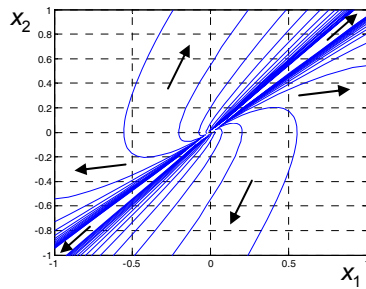


aperiodický priebeh
(stabilný)

36

Typy rovnovážnych stavov

- $a = -1$, $b = 2$, **nestabilný uzol**
- Korene charakteristickej rovnice: $s_{1,2} = 1$



aperiodický priebeh
(nestabilný)

37

Príklad nelineárneho systému 2. rádu

- Van der Pol-ova rovnica (oscilátor, b – tlmenie)

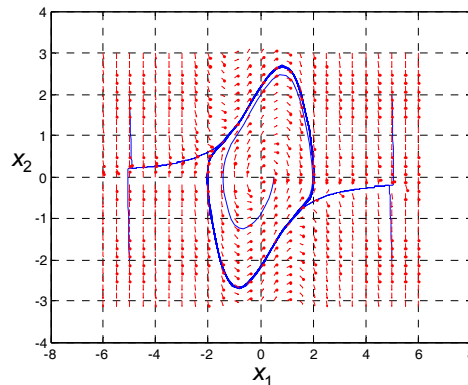
$$\ddot{y} - (1 - y^2)\dot{y}/b + y = 0$$
- Stavové veličiny $x_1 = y$
 $x_2 = \dot{y}$
- Stavový model \longrightarrow

$$\begin{aligned} \frac{dx_1}{dt} &= x_2 \\ \frac{dx_2}{dt} &= \frac{1}{b}(1 - x_1^2)x_2 - x_1 \end{aligned}$$
- Rovnovážny stav $\begin{pmatrix} x_1 \\ x_2 \end{pmatrix} = \begin{pmatrix} 0 \\ 0 \end{pmatrix}$
 (nestabilné ohnisko)
- Bendixsonovo krit.: \longrightarrow $\frac{\partial X_1}{\partial x_1} + \frac{\partial X_2}{\partial x_2} = (1 - x_1^2)\frac{1}{b}$
 (existuje stabilný limitný cyklus)

38

Príklad nelineárneho systému 2. rádu

- Van der Pol-ova rovnica (oscilátor)
fázový portrét + mapovanie smerníc trajektórií



39

Príklad nelineárneho systému 1. rádu

- Nelineárna diferenciálna rovnica 1. rádu $\dot{y} + g(y) = u$
 $g(\cdot)$ – nelineárna funkcia, u – konštantné budenie
- Stavové veličiny: $x_1 = y$
 $x_2 = \dot{y}$
- Stavový model: $\begin{cases} \frac{dx_1}{dt} = x_2 \\ x_2 = u - g(x_1) \end{cases}$
– jediná fázová trajektória
- Pohyb po trajektórii: pre $x_2 > 0$ – zľava doprava
pre $x_2 < 0$ – sprava doľava
- Rovnovážne stavy $\rightarrow x_2 = 0$ ležia na osi x_1
– súradnicu x_1 získame riešením rovnice $g(x_1) = u$

40

Príklad nelineárneho systému 1. rádu

- Nelineárna diferenciálna rovnica 1. rádu $\dot{y} + g(y) = u$
 $g(y) = y^2$, $u = 1$ $u = 1$ $\dot{y} + y^2 = 1$

- Stavové veličiny: $x_1 = y$
 $x_2 = \dot{y}$

- Stavový model:
 (jediná fázová trajektória – parabola) $\rightarrow \frac{dx_1}{dt} = x_2$
 $x_2 = 1 - x_1^2$

- Rovnovážne stavy ($x_2 = 0$):

$$x_1^2 = 1 \longrightarrow \begin{pmatrix} x_1 \\ x_2 \end{pmatrix} = \begin{pmatrix} 1 \\ 0 \end{pmatrix} \quad \begin{pmatrix} x_1 \\ x_2 \end{pmatrix} = \begin{pmatrix} -1 \\ 0 \end{pmatrix}$$

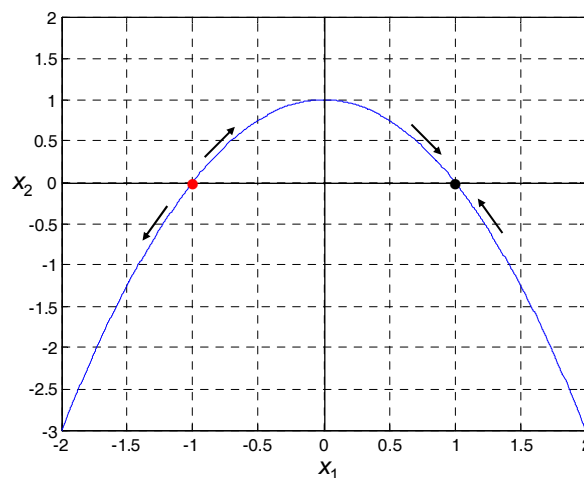
stabilný nestabilný

(Stabilitu zistíme jednoducho z grafu na ďalšej strane.)

41

Príklad systému 1. rádu

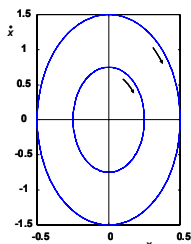
- Fázová trajektória nelineárneho systému 1. rádu $\dot{y} + y^2 = 1$



42

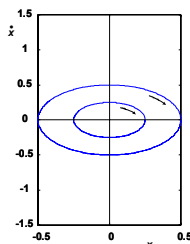
Nelineárne riadenie vo fázovej rovine (ukážka stabilizácie)

- Lineárny autonómny oscilujúci systém 2. rádu $\ddot{x} = -ax$ s premenlivým zosilnením spätnej väzby a

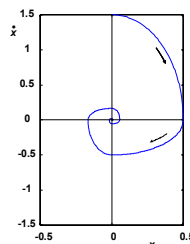


$$a = b_1^2$$

$$b_1^2 > b_2^2$$



$$a = b_2^2$$

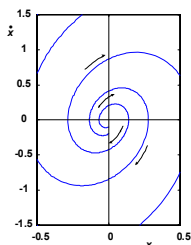


$$a = \begin{cases} b_1^2 & \text{pre } x\dot{x} > 0 \\ b_2^2 & \text{pre } x\dot{x} < 0 \end{cases}$$

43

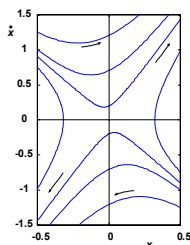
Nelineárne riadenie vo fázovej rovine (ukážka stabilizácie, **kľzavý režim**)

- Nestabilný dynamický systém 2. rádu $\ddot{x} + b\dot{x} + ax = 0$ s parametrom $b < 0$ a premenlivým parametrom a

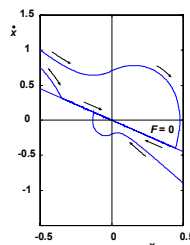


$$a = \alpha$$

$$\alpha > 0$$




$$a = -\alpha$$



$$a = \begin{cases} \alpha & \text{pre } xF > 0 \\ -\alpha & \text{pre } xF < 0 \end{cases}$$

Prepínacia priamka $F = cx + \dot{x} = 0$ $c > 0$ 44

Nelineárne riadenie vo fázovej rovine (ukážka stabilizácie, **kĺzavý režim**)

- Korene charakteristického polynómu $s_{1,2} = -\frac{b}{2} \pm \sqrt{\frac{b^2}{4} + \alpha}$
- Určenie parametra $c > 0$ prepínacej priamky $F = cx + \dot{x} = 0$
- Podmienka vzniku kĺzavého režimu $F\dot{F} < 0$
- Riešenie $-s_1 < 0 < c < -s_2$ 
- Zvolili sme $c = -\frac{s_2}{2} = \frac{b}{4} + \frac{1}{2}\sqrt{\frac{b^2}{4} + \alpha}$